

การหาค่าความเค็นภายในขณะคีบของเหล็กกล้าไร้สนิม 304 ที่ผ่านกระบวนการความร้อนเชิงกล

นายสุคเขต อิ่มเหลา

ศูนย์วิทยทรัพยากร  
จุฬาลงกรณ์มหาวิทยาลัย

วิทยานิพนธ์นี้เป็นส่วนหนึ่งของการศึกษาตามหลักสูตรปริญญาวิศวกรรมศาสตรมหาบัณฑิต

สาขาวิชานิวเคลียร์เทคโนโลยี ภาควิชานิวเคลียร์เทคโนโลยี

คณะวิศวกรรมศาสตร์ จุฬาลงกรณ์มหาวิทยาลัย

ปีการศึกษา 2544

ISBN 974-03-1664-6

ลิขสิทธิ์ของจุฬาลงกรณ์มหาวิทยาลัย

DETERMINATION OF INTERNAL STRESS DURING CREEP OF THERMOMECHANICALLY  
PROCESSED 304 STAINLESS STEEL

Mr. Soodkhet Imlao

ศูนย์วิทยทรัพยากร  
จุฬาลงกรณ์มหาวิทยาลัย

A Thesis Submitted in Partial Fulfillment of the Requirements  
for the Degree of Master of Engineering in Nuclear Technology

Department of Nuclear Technology

Faculty of Engineering

Chulalongkorn University

Academic Year 2001

ISBN 974-03-1664-6

หัวข้อวิทยานิพนธ์

การหาค่าความเค็นภายในขณะคีบของเหล็กกล้าไร้สนิม 304 ที่ผ่าน

กระบวนการความร้อนเชิงกล

โดย

นายสุดเขตต์ อิ่มเหลา

สาขาวิชา

นิวเคลียร์เทคโนโลยี

อาจารย์ที่ปรึกษา

ผู้ช่วยศาสตราจารย์ ดร.วิศิษฐ์ ทวีปรงษ์พิร

คณะกรรมการศาสตร์ จุฬาลงกรณ์มหาวิทยาลัย อนุมัติให้นับวิทยานิพนธ์ฉบับนี้  
เป็นส่วนหนึ่งของการศึกษาตามหลักสูตรปริญญามหาบัณฑิต

.....

คณะกรรมการศาสตร์

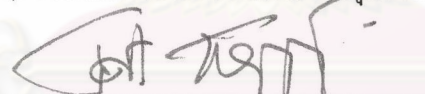
(ศาสตราจารย์ ดร.สมศักดิ์ ปัญญาเก้า)

คณะกรรมการสอนวิทยานิพนธ์

.....

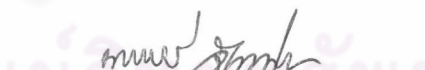
ประธานกรรมการ

(รองศาสตราจารย์ชยกริต คิริอุปัมภ์)

.....

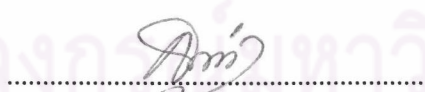
อาจารย์ที่ปรึกษา

(ผู้ช่วยศาสตราจารย์ ดร.วิศิษฐ์ ทวีปรงษ์พิร)

.....

กรรมการ

(รองศาสตราจารย์นรศร จันทน์ขาว)

.....

กรรมการ

(ผู้ช่วยศาสตราจารย์สุวิทย์ ปุณณชัยยะ)

สูดเบตต์ อิมเหลา: การหาค่าความเค้นภายในขณะคีบของเหล็กกล้าไร้สนิม 304 ที่ผ่านกระบวนการความร้อนเชิงกล (DETERMINATION OF INTERNAL STRESS DURING CREEP OF THERMOMECHANICALLY PROCESSED 304 STAINLESS STEEL): อ. ที่ปรึกษา: พศ.ดร.วิศิษฐ์ ทวีปรังษีพร, 63 หน้า. ISBN 974-03-1664-6

วิทยานิพนธ์ฉบับนี้มีวัตถุประสงค์เพื่อเปรียบเทียบผลกระทบของกระบวนการความร้อนเชิงกลที่มีต่อความเค้นภายใน (internal stress,  $\sigma_i$ ) ระหว่างการคีบของเหล็กกล้าไร้สนิม 304 ซึ่งกระบวนการความร้อนเชิงกลที่ใช้ในงานวิจัยครั้งนี้เริ่มจากการให้ความร้อนแก่เหล็กกล้าไร้สนิม 304 ที่อุณหภูมิ  $900^{\circ}\text{C}$  เป็นเวลา 1 ชั่วโมง หลังจากนั้นนำไปปรีดให้ความหนาลดลง 3 เปอร์เซ็นต์ แล้วนำไปให้ความร้อนที่อุณหภูมิ  $900^{\circ}\text{C}$  เป็นเวลา 3 นาที และเรียกเหล็กกล้าไร้สนิมที่ผ่านกระบวนการให้ความร้อนเชิงกลว่า 304TT สำหรับเหล็กกล้าไร้สนิมที่ไม่ผ่านกระบวนการดังกล่าวเรียกว่า 304AR ในงานวิจัยครั้งนี้พบว่ากระบวนการความร้อนเชิงกลมีผลต่อการเปลี่ยนแปลงการกระจายตัวทางสถิติของความลาดชันของขอบเกรน (grain boundary inclination distribution) โดยไม่มีผลต่อการเปลี่ยนแปลงสัดส่วนของขอบเกรนชนิด CSLB (Coincidence-Site-Lattice Boundary) และจากการศึกษาการ เช่นชีไฟซ์ที่อุณหภูมิ  $650^{\circ}\text{C}$  พบว่า 304TT มีความต้านทานต่อการ เช่นชีไฟซ์ บริเวณขอบเกรนมากกว่า 304AR

เพื่อศึกษาผลกระทบของกระบวนการความร้อนเชิงกลที่มีต่อการคีบ งานวิจัยนี้จึงได้สร้างเครื่องทดสอบการคีบแบบให้น้ำหนักคงที่แก่ชิ้นงาน (constant load creep testing machine) โดยทำการทดลองให้ความเค้น 200 MPa แก่ชิ้นงาน ที่อุณหภูมิ  $650^{\circ}\text{C}$  จากผลการทดลองพบว่าการ เช่นชีไฟซ์มีผลต่อพฤติกรรมการคีบของ 304AR มากกว่า 304TT และเมื่อทำการหาค่าความเค้นภายในโดยวิธี load reduction creep test พบว่า ค่าความเค้นภายในของ 304TT มีค่าน้อยกว่า 304AR และชิ้นงานทั้งสองมีค่าความเค้นภายในลดลงเมื่อนำชิ้นงานผ่านกระบวนการ เช่นชีไฟซ์ก่อนที่จะนำไปทดสอบการคีบ แต่จากการทดลองหาค่า apparent stress exponent ( $n$ ) พบว่า ค่า  $n$  ของ 304TT มีค่าค่อนข้างคงที่อยู่ในช่วง 10-11 ในขณะที่ค่า  $n$  ของ 304AR มีค่าเพิ่มขึ้นจาก 10 เป็น 12 เมื่อถูก เช่นชีไฟซ์ ดังนั้นจึงทำให้การ เช่นชีไฟซ์มีผลกระทบต่อลักษณะการคีบของ 304AR มากกว่า 304TT

ภาควิชา	นิวเคลียร์เทคโนโลยี	ลายมือชื่อนิสิต.....
สาขาวิชา	นิวเคลียร์เทคโนโลยี	ลายมือชื่ออาจารย์ที่ปรึกษา.....
ปีการศึกษา	2544	ลายมือชื่ออาจารย์ที่ปรึกษาร่วม.....

# # 4270602621 : MAJOR NUCLEAR TECHNOLOGY

KEYWORD: INTERNAL STRESS/ CREEP/ THERMOMECHANICAL PROCESSING /304  
STAINLESS STEEL

SOODKHET IMLAO: DETERMINATION OF INTERNAL STRESS DURING CREEP  
OF THERMOMECHANICALLY PROCESSED 304 STAINLESS STEEL. THESIS  
ADVISOR: ASST.PROF. DR.VISIT THAVEEPRUNGSRIPOORN, 63 PP.  
ISBN 974-03-1664-6

The objective of this research is to compare the effect of thermomechanical processing on internal stress during creep of 304 stainless steel. To prepare thermomechanically processed samples, the as-received material, 304AR, was first heat treated at 900°C for an hour followed by a 3% reduction in thickness and annealed at 900°C for 3 minutes, henceforth refer to as 304TT. It was found that the thermomechanical process altered boundary inclination distribution while keeping the coincidence site lattice boundary distribution essentially the same. Sensitization studied at 650°C also showed that the 304TT exhibited higher resistance to sensitization than that in 304AR.

To study the effect of themomechanical processing on creep behavior of 304 stainless steel, a constant load creep testing machine was constructed. Results from constant load creep testing at 200 MPa and 650°C revealed that the effect of sensitization on creep behavior of 304AR was more pronounced than that of 304TT. Moreover, result from load reduction creep test indicated that the internal stress of 304TT was less than that of 304AR and decreasing with increasing sensitization time. However, it was found that apparent stress exponent (n) of 304TT was quite constant and was in the range of 10-11 and lower than that in 304AR where it was found to be in the range of 10-12 and increasing with sensitization time. Therefore, sensitization has more effect on creep characteristic of 304AR than 304TT.

Department Nuclear Technology

Field of study Nuclear Technology

Academic year 2001

Student's signature.....

Advisor's signature.....

Co-advisor's signature.....

## กิตติกรรมประกาศ

ข้าพเจ้าขอขอบพระคุณ พศ. ดร.วิชัย ทวีปรังษีพร อาจารย์ที่ปรึกษาวิทยานิพนธ์ พศ.สุวิทย์ ปุณณชัยยะ อาจารย์เดชา ทองอรุณ เป็นอย่างสูงที่ให้ความช่วยเหลือเรื่องการสร้างเครื่องทดสอบ การคีบพร้อมทั้งให้คำปรึกษาในงานวิจัยทุกรายละเอียด และขอขอบคุณ ดร.จิระพงศ์ กลิ่นทิพย์อำนวย ที่ให้ความช่วยเหลือด้านเอกสารอ้างอิง

ขอขอบคุณบริษัทไทยนือคซ์ สตีล จำกัด ที่อนุเคราะห์เหล็กกล้าไร้สนิม 304 เพื่อใช้ในการวิจัย

ขอขอบคุณ นส.สุภลักษณ์ ลวดลาย นส.นริศรา สำอางกาย นายกิตติพงศ์ เกษมสุข นายสุเมธ ทิพย์ไกรศร และ นิสิตภาควิชานิวเคลียร์เทคโนโลยีทุกคนที่ให้ความช่วยเหลือในการทดลอง

ขอขอบคุณ คุณบังอร วัฒนาอมาipo และเจ้าหน้าที่ศูนย์เครื่องมือวิจัยวิทยาศาสตร์และเทคโนโลยี จุฬาลงกรณ์มหาวิทยาลัย ที่ให้ความช่วยเหลือในเรื่องการใช้กล้องจุลทรรศน์อิเล็กตรอน

ท้ายนี้ขอขอบพระคุณบุคคลที่มีความสำคัญที่สุดในชีวิตของข้าพเจ้าคือ บิดา (พ.ต.อ.สุพจน์ อิ่มเหลา) และ มารดา (นางประไพสาร อิ่มเหลา) ของข้าพเจ้าที่ให้กำลังใจและให้ความช่วยเหลือด้านการเงินแก่ข้าพเจ้า

ศูนย์วิทยทรัพยากร  
จุฬาลงกรณ์มหาวิทยาลัย

## สารบัญ

	หน้า
บทคัดย่อวิทยานิพนธ์ไทย.....	๑
บทคัดย่อวิทยานิพนธ์อังกฤษ.....	๑
กิตติกรรมประกาศ.....	๙
สารบัญ.....	๙
สารบัญตาราง.....	๖
สารบัญภาพ.....	๖
บทที่	
1. บทนำ.....	๑
1.1 ความเป็นมาและความสำคัญของปัญหา.....	๑
1.2 วัตถุประสงค์ของการวิจัย.....	๓
1.3 ขอบเขตของการวิจัย.....	๓
1.4 ประโยชน์ที่คาดว่าจะได้รับ.....	๔
1.5 วิธีดำเนินการวิจัย.....	๔
1.6 งานวิจัยที่เกี่ยวข้อง.....	๔
2. ความสัมพันธ์ระหว่างโครงสร้างจุลภาคกับกลไกการคึบของวัสดุ.....	๖
2.1 คำนำ.....	๖
2.2 ชนิดของการคึบ.....	๗
2.3 การเพิ่มความแข็งแรงของโครงผลึกของวัสดุ.....	๑๐
2.4 ความเค้นภายในของวัสดุขณะคึบ.....	๑๔
2.5 การหาค่าความเค้นภายในของวัสดุ.....	๑๔
3. ผลกระทบของกระบวนการความร้อนเชิงกลต่อการเปลี่ยนแปลงโครงสร้างของกรน.....	๑๘
3.1 คำนำ.....	๑๘
3.2 Grain Boundary Geometry.....	๑๘
3.3 กระบวนการความร้อนเชิงกล.....	๒๓
4. การทดลอง.....	๒๕
4.1 คำนำ.....	๒๕
4.2 เครื่องทดสอบการคึบแบบน้ำหนักคงที่.....	๒๕
4.3 การเตรียมชิ้นงาน.....	๓๒
4.4 การทดสอบการคึบ.....	๓๒

## สารบัญ (ต่อ)

	หน้า
4.5 การเตรียมชิ้นงานเพื่อศึกษาโครงสร้างชุลภาค.....	35
5. ผลการทดลองและอภิปราย.....	36
5.1 คำนำ.....	36
5.2 ลักษณะโครงข่ายของเกรนหลังจากผ่านกระบวนการความร้อนเชิงกล.....	36
5.3 ผลการทดสอบการคืนโดยให้น้ำหนักคงที่แก่ชิ้นงาน.....	41
5.4 ผลการหาความเค้นภายในด้วยวิธี Load Reduction Test.....	45
5.5 อภิปรายผลการทดลอง.....	52
5.6 สรุป.....	56
รายการอ้างอิง.....	57
ภาคผนวก.....	61
ประวัติผู้เขียนวิทยานิพนธ์.....	63

**ศูนย์วิทยทรัพยากร  
จุฬาลงกรณ์มหาวิทยาลัย**

## สารบัญตาราง

บทที่		หน้า
4.1	ส่วนประกอบเคมีของเหล็กกล้า ไรส์นิม 304.....	32
4.2	ชนิดชิ้นงานที่นำมาทดสอบการคืนแบบให้น้ำหนักคงที่.....	33
4.3	การจำแนกชิ้นงานตามระยะเวลาเช่นชิ้นไทยเพื่อหาค่าความเด่นภายในของ 304AR และ 304TT.....	
		34
4.4	แผนกราฟทดลองการหาค่าความเด่นภายในของ 304AR และ 304TT.....	34
5.1	ค่าความเด่นภายในของ 304AR และ 304TT ที่อัตราการคีบ $1 \times 10^8$ ต่อวินาที, ค่าความเด่นเริ่มต้นที่ให้แก่ชิ้นงานเท่ากับ 200 MPa, $650^\circ\text{C}$ .....	46


  
**ศูนย์วิทยทรัพยากร  
จุฬาลงกรณ์มหาวิทยาลัย**

## สารบัญภาพ

ภาพประกอบ	หน้า
1.1 ความคืบที่อุณหภูมิสูงและอุณหภูมิต่ำ.....	2
2.1 แสดงถึงลักษณะของการคีบที่อุณหภูมิสูง.....	6
2.2 การแพร่ของมวลและซ่องว่างขณะคีบ.....	7
2.3 การเลื่อนไถลของขอบเกรนหลังจากการแพร่.....	8
2.4 การก่อตัวของโครงสร้างเยื่อยภายในเกรนของเหล็กที่มีส่วนผสมของธาตุซิลิคอน 3% ที่อุณหภูมิ $643^{\circ}\text{C}$ ณ ที่ความเครียดต่างๆ.....	9
2.5 ขนาดของตัวถูกคลั่งลายเล็กกว่าตัวทำลายทำให้เกิดการยัดตัวของโครงผลึก.....	10
2.6 ขนาดของตัวถูกคลั่งลายใหญ่กว่าตัวทำลายทำให้เกิดการขยายตัวของโครงผลึก.....	11
2.7 คิลโลเคชันเคลื่อนที่ผ่านอนุภาคของตะกอน.....	12
2.8 a) การคีบของ 10Cr-30Mn Austenitic Steel during ที่ความคืบ 245 MPa อุณหภูมิ 873 K b) ตะกอนคาร์ไบด์หลังการ aging 1000 ชั่วโมง มีลักษณะใด การกระจายตัวมีความหนา แน่นน้อย	
c) ตะกอนคาร์ไบด์ไม่ผ่านการ aging มีลักษณะเล็กและการกระจายตัวมีความหนา แน่นมาก.....	13
2.9 แสดงวิธีการหาค่าความเค้นภายใน.....	15
2.10 การหาค่าความเค้นภายในโดยวิธี dip test ของเหล็ก.....	15
2.11 แสดงผลการหาค่า incubation time ของตะกั่วที่มีโครงผลึกแบบ Polycrystalline.....	16
2.12 การหาค่าความเค้นภายในของโลหะผสม Ni-16Cr-9Fe ที่มีปริมาณสัดส่วนของเกรนชนิด CSLB ต่างกันขณะคีบที่อุณหภูมิ $360^{\circ}\text{C}$ .....	17
3.1 a) แสดงถึงขอบเกรนที่เกิดจาก 2 เกรน ทำมุมต่อกัน $\Theta$ บนแกนอ้างอิง UVW b) แสดงถึงเกรน 2 เกรนที่มีระนาบ $N_1$ และ $N_2$ ทำมุม $\beta$ ต่อกัน.....	19
3.2 แสดง CSL ที่มีค่าเท่ากับ $\sum 5$ .....	20
3.3 มุมและพลังงานของขอบเกรนที่เกิดขึ้น ณ Triple junction.....	21
3.4 กราฟความสัมพันธ์ระหว่างการกระจาย Cumulative Frequency of Dihedral Angle และการกระจายคุณสมบัติของขอบเกรน.....	22
4.1 ภาพถ่ายของเครื่องทดสอบความคีบ.....	27
4.2 แผนภาพโครงสร้างของเครื่องทดสอบความคีบ.....	28
4.3 เครื่องควบคุมอุณหภูมิ (temperature controller).....	30
4.4 แสดงผลกระทบของอุณหภูมิที่มีต่อสัญญาณของ LVDT.....	31

## สารบัญภาพ (ต่อ)

ภาพประกอบ	หน้า
4.5 แสดงสัญญาณของ LVDT หลังจากทำการชดเชยผลกระทบของอุณหภูมิที่มีต่อ LVDT.....	31
4.6 ขนาดของชิ้นงานทดสอบ.....	32
5.1 ภาพถ่ายโครงข่ายของเกرن.....	36
5.2 ภาพถ่าย Pole Figure แสดงลักษณะการกระจายตัวของ Microtexture.....	37
5.3 การกระจายตัวของขอบเกرنแบบ CSLB ของชิ้นงาน 304TT และ 304AR.....	38
5.4 การกระจายตัวของ dihedral angle ของ 304TT และ 304AR.....	38
5.5 การกระจายตัวของความลาดเอียงของขอบเกرنของ 304TT และ 304AR.....	39
5.6 ภาพถ่ายรูปแบบของขอบเกرن.....	40
5.7 สัดส่วนของโครเมียมคาร์ไบด์ที่เกิดขึ้นบนขอบเกرنของ 304TT และ 304AR.....	40
5.8 a) กราฟการคีบของ 304AR หลังจากผ่านการเซนซิไซไซต์ที่เวลาต่างๆ แล้วนำมาทดสอบ การคีบที่ความเค้น 200 MPa อุณหภูมิ 650 °C.....	41
b) กราฟการคีบของ 304TT หลังจากผ่านการเซนซิไซไซต์ที่เวลาต่างๆ แล้วนำมาทดสอบการคีบที่ ความเค้น 200 MPa อุณหภูมิ 650 °C.....	42
5.9 a) กราฟการคีบของ 304AR หลังจากผ่านการเซนซิไซไซต์ที่เวลาต่างๆ แล้วนำมาทดสอบการคีบที่ ความเค้น 200 MPa อุณหภูมิ 650°C โดยแสดงบนแกน logarithm.....	42
b) กราฟการคีบของ 304TT หลังจากผ่านการเซนซิไซไซต์ที่เวลาต่างๆ แล้วนำมาทดสอบการคีบที่ ความเค้น 200 MPa อุณหภูมิ 650 °C โดยแสดงบนแกน logarithm.....	43
5.10 ความสัมพันธ์ของเวลาที่ชิ้นงานขาดกับค่าอัตราการคีบต่ำสุดที่ถูกควบคุมโดยกลไกของการคีบ แบบเดียวกัน.....	44
5.11 แผนผังกลไกการคีบของเหล็กกล้าไร้สนิม 304 ชุดเครื่องหมายสีแดงแสดงค่าความเค้นและอุณหภูมิที่ ใช้ในการทดลองซึ่งตรงกับค่าอัตราการคีบในแผนผังที่ใช้เป็นมาตรฐาน.....	45
5.12 ค่าความเค้นภายในของ 304R โดยพิจารณาให้อัตราการคีบที่ $1 \times 10^{-8}$ เป็นอัตราการคีบต่ำสุดที่ วัดได้ต่ำสุดที่วัดได.....	46
5.13 ค่าความเค้นภายในของ 304TT โดยพิจารณาให้อัตราการคีบที่ เป็นอัตราการคีบต่ำสุดที่วัด ได.....	47
5.14 ค่าความเค้นภายในของ 304AR และ 304TT มีค่าลดลงเมื่อระยะเวลาการเซนซิไซไซต์เพิ่ม ขึ้น.....	47

## สารบัญภาพ (ต่อ)

ภาพประกอบ	หน้า
5.15 ปริมาณโครเมียมคาร์ไบด์บนขอบเกรน 304TT และ 304AR ระหว่างการทดสอบหาค่าความเดินภายในหลังจากถูกเซนซิไทช์ด้วยเวลาต่างๆ .....	48
5.16 apparent stress exponent (ความชันของกราฟ) ของ 304AR ที่ผ่านการเซนซิไทช์ตามช่วงเวลาต่างๆ .....	50
5.17 apparent stress exponent (ความชันของกราฟ) ของ 304TT ที่ผ่านการเซนซิไทช์ตามช่วงเวลาต่างๆ.....	50
5.18 กราฟแสดงการเปลี่ยนแปลงของค่า $n$ ของ 304TT และ 304AR หลังจากถูกเซนซิไทช์ด้วยเวลาต่างๆ .....	51
5.19 ความสัมพันธ์ระหว่างอัตราการคีบต่ำสุดกับค่า effective stress ของชิ้นงาน 304AR และ 304TT ที่ถูกเซนซิไทช์ที่เวลาต่างๆ กัน.....	52
5.20 ผลของการเซนซิไทช์เหล็กกล้า ไรสันิม 304 ต่อการคีบ.....	53
5.21 ผลของการเซนซิไทช์เหล็กกล้า ไรสันิม 304 ต่อการคีบ (304S เป็นชิ้นงานที่ถูกเซนซิไทช์ 24 ชั่วโมงก่อนนำมาทดสอบการคีบ , 304A เป็นชิ้นงานที่ถูก Annealling , และ 304L เป็นชิ้นงานที่มีปริมาณคาร์บอนต่ำ.....	53
5.22 กราฟการคีบช่วง transient creep ของ 304AR .....	54
5.23 กราฟการคีบช่วง transient creep ของ 304TT .....	54
5.24 ค่าความชันของกราฟอัตราการคีบกับระยะเวลาการเซนซิไทช์ของ 304AR และ 304TT.....	55
ก.1 ตัวอย่างกราฟการทดสอบ reduction load test เพื่อหาค่าความเดินภายใน.....	62

**ศูนย์วิทยทรัพยากร  
จุฬาลงกรณ์มหาวิทยาลัย**